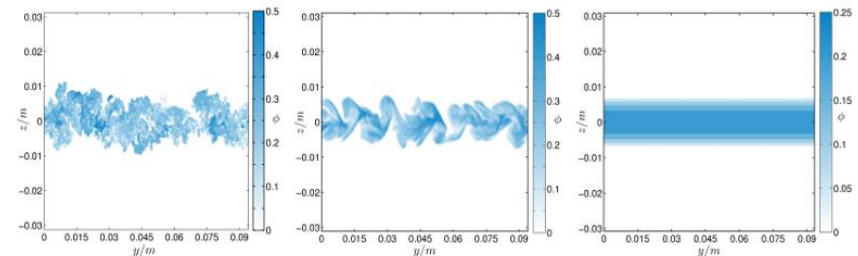


- ▶ Einführung/ Phänomenologie turbulenter Strömungen
- ▶ Statistische Betrachtungsweise  
(Reynolds-gemittelte Navier-Stokes Gleichungen)  
→ Behandlung von Schließungsansätzen
- ▶ Spektrale Sichtweise der Turbulenz
- ▶ **Grobstruktursimulation (Large Eddy Simulation, LES)**



## 10.1 Rolle des Feinstrukturmodells

## 10.2 Vorstellung ausgewählter Feinstrukturmodelle

- ▶ Möglichkeiten der Klassifizierung
- ▶ Modelle in RANS-Tradition

### Kapitel 10

## 11.1 Vorstellung ausgewählter Feinstrukturmodelle

- ▶ Modelle mit Zerlegung der aufgelösten Skalen

## 11.2 Modelle für die Filterweite

## 11.3 Selektive Prozeduren

## 11.4 Implizite LES

### Kapitel 11



## 10.1 Rolle des Feinstrukturmodells

## 10.2 Vorstellung ausgewählter Feinstrukturmodelle

- ▶ Möglichkeiten der Klassifizierung
- ▶ Modelle in RANS-Tradition

### Kapitel 10

## 11.1 Vorstellung ausgewählter Feinstrukturmodelle

- ▶ Modelle mit Zerlegung der aufgelösten Skalen

## 11.2 Modelle für die Filterweite

## 11.3 Selektive Prozeduren

## 11.4 Implizite LES

### Kapitel 11

## 10.1 Rolle des Feinstrukturmodells

- Gefilterte LES Gleichungen:

$$\frac{\partial \bar{u}_i}{\partial t} + \frac{\partial \bar{u}_i \bar{u}_j}{\partial x_j} = -\frac{1}{\rho} \frac{\partial \bar{p}}{\partial x_i} + \nu \frac{\partial^2 \bar{u}_i}{\partial x_j^2} - \frac{\partial \tau_{ij}^{FS}}{\partial x_j}$$

- Im Folgenden: Annahme impliziter Filterung:

$$\tau_{ij}^{FS} = \tau_{ij}^{SGS}$$

(SGS ... sub-grid scale)

- Definition Feinstrukturspannungen:

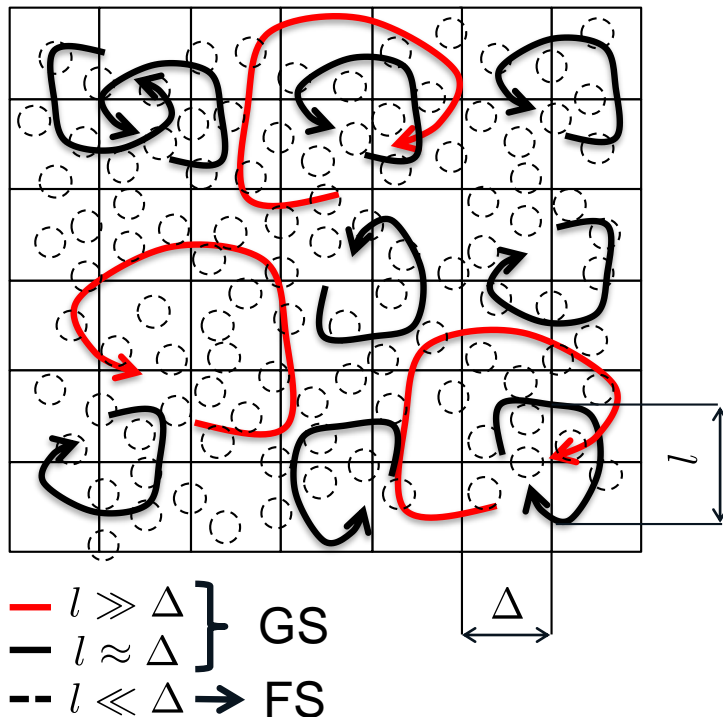
$$\tau_{ij}^{SGS} = \overline{u_i u_j} - \bar{u}_i \bar{u}_j$$

Keine Lösungsgröße !

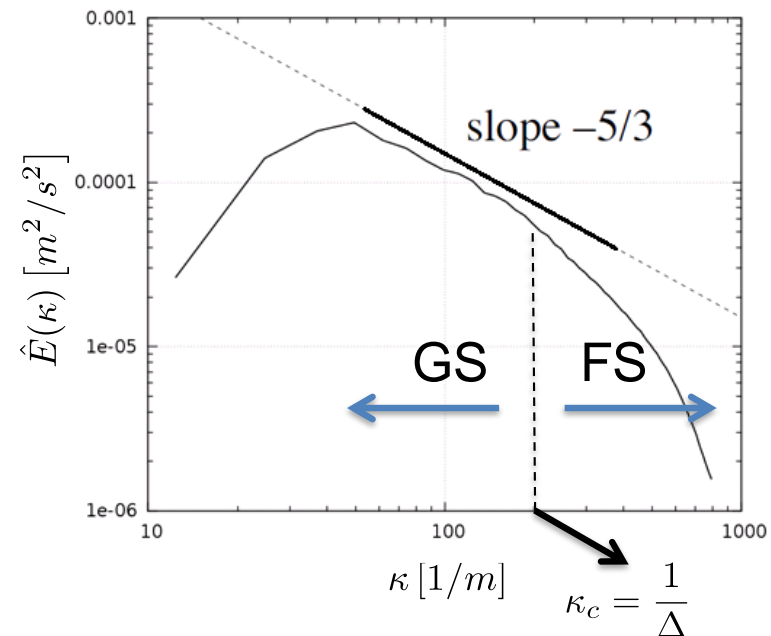
- Ungeschlossener Term, der modelliert werden muss  
→ **Feinstrukturmodell**

- Repräsentation des **Einflusses der nicht-aufgelösten Anteile** (Feinstruktur, FS) der Strömung **auf die aufgelösten Anteile** (Grobstruktur, GS)

physikalischer Raum

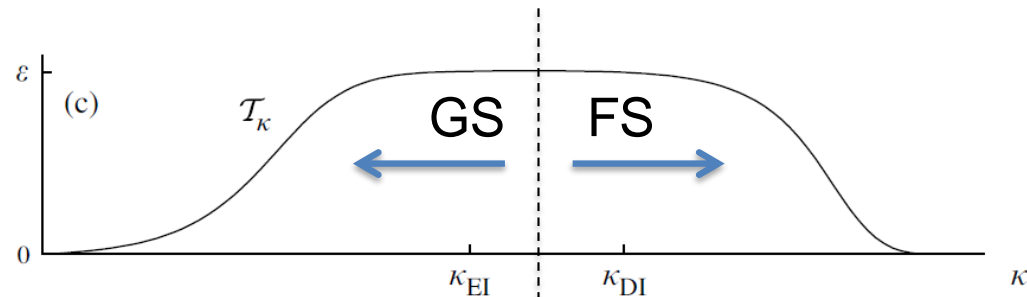


Spektral-Raum

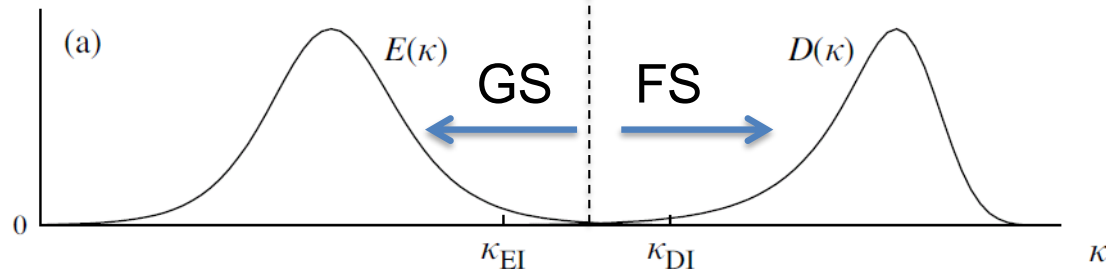




- ▶ Repräsentation des **Einflusses der nicht-aufgelösten Anteile** (Feinstruktur, FS) der Strömung **auf die aufgelösten Anteile** (Grobstruktur, GS)
- ▶ turbulenter Transport (von großen zu kleinen Skalen) fast ausschließlich im Inertialbereich (-5/3-Anstieg im Energie-Spektrum)



- ▶ Dissipation auf kleinen Skalen  $\kappa_c = \frac{1}{\Delta}$   
( $\varepsilon \sim \kappa^2$ )





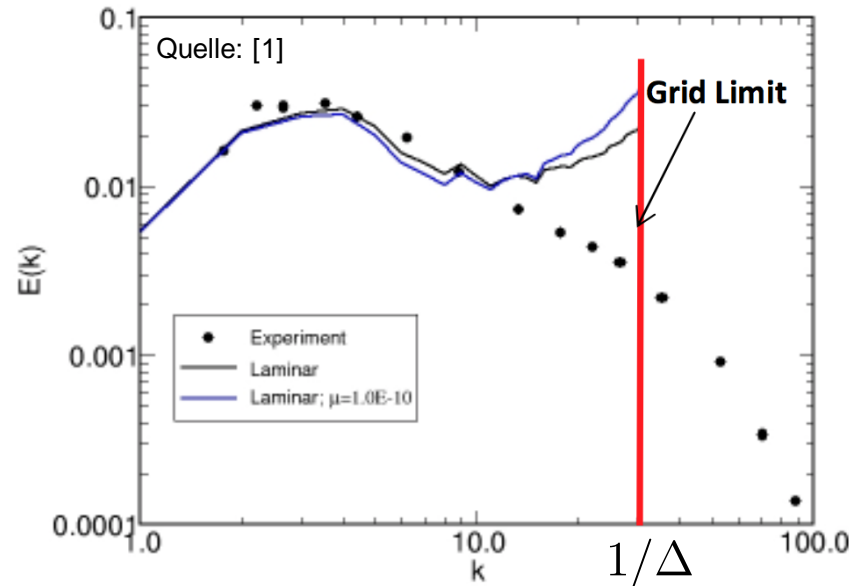
- Gleichung für die kinetische Energie der aufgelösten Skalen  
(  $K_{res} = 0,5 \bar{u}_i \bar{u}_i$  ):

$$\begin{aligned} \frac{\partial K_{res}}{\partial t} + \frac{\partial (\bar{u}_j K_{res})}{\partial x_j} + \frac{\partial}{\partial x_j} (\bar{u}_j \bar{p} + \bar{u}_i \tau_{ij}^{SGS} - 2\nu \bar{u}_i \bar{S}_{ij}) \\ = \underbrace{-2\nu \bar{S}_{ij} \bar{S}_{ij}}_{\varepsilon_{res}} - \underbrace{(-\tau_{ij}^{SGS} \bar{S}_{ij})}_{P_{FS}} \end{aligned}$$

- Gleichung für die kinetische Energie des Feinstruktur-Tensors  
(  $K_\tau = 0,5 (\overline{u_i u_i} - \bar{u}_i \bar{u}_i) = 0,5 \tau_{kk}$  ):

$$\begin{aligned} \frac{\partial K_\tau}{\partial t} + \frac{\partial (\bar{u}_j K_\tau)}{\partial x_j} + \frac{1}{2} \frac{\partial}{\partial x_j} (\overline{u_j u_i u_i} - \bar{u}_j \bar{u}_i \bar{u}_i) + \frac{\partial}{\partial x_j} (\bar{u}_j \bar{p} - \bar{u}_j \bar{p}) + \frac{\partial}{\partial x_j} (\bar{u}_i \tau_{ij}^{SGS}) \\ = \nu \frac{\partial^2 K_\tau}{\partial x_j^2} - \underbrace{\nu \left( \left( \frac{\partial u_i}{\partial x_j} \right)^2 - \left( \frac{\partial \bar{u}_i}{\partial x_j} \right)^2 \right)}_{\varepsilon_{FS}} + \underbrace{(-\tau_{ij}^{SGS} \bar{S}_{ij})}_{P_{FS}} \end{aligned}$$

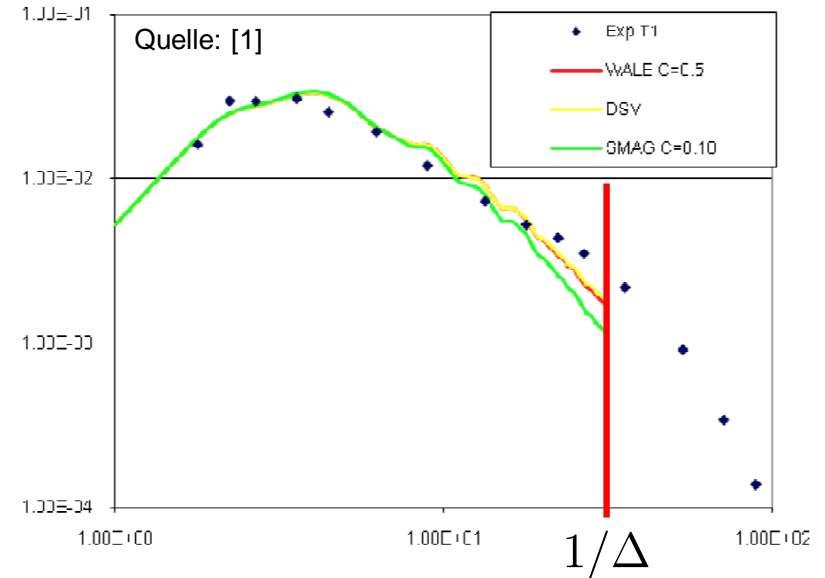
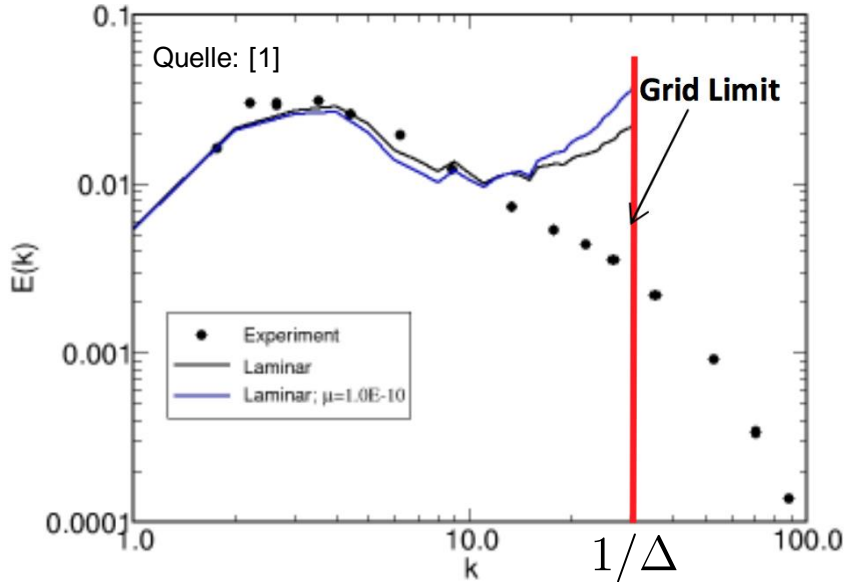
Darstellung anhand der Simulation isotroper homogener Turbulenz (HIT):



- Ohne SGS-Modell und zu grobe Auflösung: Energie  $K_{res}$  auf Filterniveau  $\Delta$  nur über  $\varepsilon_{res}$  dissipiert → Instabilität in der Simulation

$$\begin{aligned} \frac{\partial K_{res}}{\partial t} + \frac{\partial (\bar{u}_j K_{res})}{\partial x_j} + \frac{\partial}{\partial x_j} (\bar{u}_j \bar{p} + \bar{u}_i \tau_{ij}^{SGS} - 2\nu \bar{u}_i \bar{S}_{ij}) \\ = \underbrace{-2\nu \bar{S}_{ij} \bar{S}_{ij}}_{\varepsilon_{res}} - \underbrace{(-\tau_{ij}^{SGS} \bar{S}_{ij})}_{P_{FS}} \end{aligned}$$

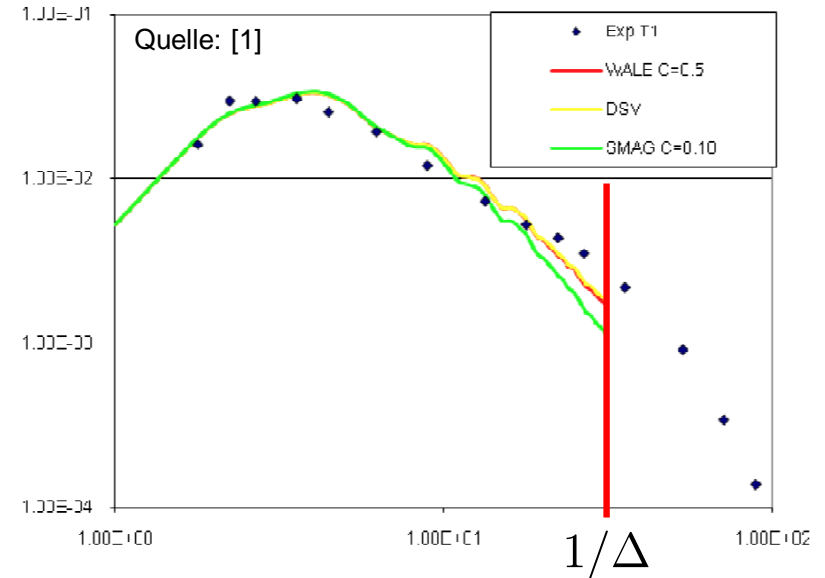
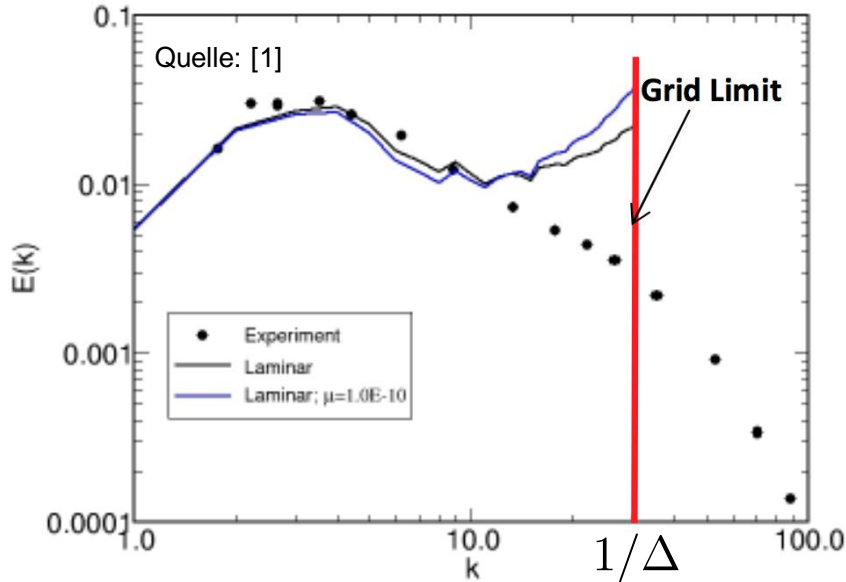
Darstellung anhand der Simulation isotroper homogener Turbulenz (HIT):



- Mit SGS-Modell: Ausreichend Dissipation von Energie auch ohne Auflösung kleinster Skalen sichergestellt → Simulation stabil

$$\begin{aligned}
 \frac{\partial K_{res}}{\partial t} + \frac{\partial (\bar{u}_j K_{res})}{\partial x_j} + \frac{\partial}{\partial x_j} (\bar{u}_j \bar{p} + \bar{u}_i \tau_{ij}^{SGS} - 2\nu \bar{u}_i \bar{S}_{ij}) \\
 = \underbrace{-2\nu \bar{S}_{ij} \bar{S}_{ij}}_{\varepsilon_{res}} - \underbrace{(-\tau_{ij}^{SGS} \bar{S}_{ij})}_{P_{FS}}
 \end{aligned}$$

Darstellung anhand der Simulation isotroper homogener Turbulenz (HIT):



► Beachte: Realistisches Maß an Dissipation notwendig:

► DNS: 
$$\frac{\partial K_{res}}{\partial t} + \frac{\partial (u_j K_{res})}{\partial x_j} + \frac{\partial}{\partial x_j} (u_j p - 2\nu u_i S_{ij})$$

$\varepsilon_{LES} = \varepsilon_{DNS}$

$= -2\nu S_{ij} S_{ij} \longrightarrow \varepsilon_{DNS}$

► LES: 
$$\frac{\partial K_{res}}{\partial t} + \frac{\partial (\bar{u}_j K_{res})}{\partial x_j} + \frac{\partial}{\partial x_j} (\bar{u}_j \bar{p} + \bar{u}_i \tau_{ij}^{SGS} - 2\nu \bar{u}_i \bar{S}_{ij})$$

$= -2\nu \bar{S}_{ij} \bar{S}_{ij} - (-\tau_{ij}^{SGS} \bar{S}_{ij}) \longrightarrow \varepsilon_{LES}$

- ▶ Kopplung der Gleichungen über  $P_{FS}$ 
  - ▶ Vorzeichen steht nicht fest, möglicher Energietransport:
    - ▶ Feinstruktur  $\rightarrow$  Grobstruktur
    - ▶ Grobstruktur  $\rightarrow$  Feinstruktur
- ▶ im Mittel Transport kinetischer Energie von Grobstruktur zu Feinstruktur

- ▶ Repräsentation des **Einflusses der nicht-aufgelösten Anteile** (Feinstruktur, FS) der Strömung **auf die aufgelösten Anteile** (Grobstruktur, GS)
  - ▶ Transport turbulenter kinetischer Energie im statistischen Mittel von groben zu feinen Skalen
  - ▶ Dissipation auf Skalen der Größe der Kolmogorov-Skalen
    - Bereitstellung des **richtigen Maßes an Dissipation** (gleiches Maß an Dissipation wie bei DNS der gleichen Konfiguration)
  - ▶ **Einfaches Modell** ausreichend für diese Bedingung, **wenn Filterweite viel kleiner als energietragende Skalen der Strömung**

- ▶ Nomenklatur für die folgenden Folien:

- ▶ zu modellierender Feinstruktur-Tensor:

$$\tau_{ij}^{SGS}$$

- ▶ Modell für den Feinstrukturtenor:

$$\tau_{ij}^{mod}$$

- ▶ durch die Turbulenz der Feinstruktur bedingte Scheinviskosität (bei Verwendung des Wirbelviskositätsansatzes):

$$\nu_{SGS}$$





## 10.2 Vorstellung ausgewählter Feinstrukturmodelle

- ▶ Möglichkeiten der Klassifizierung

## ► Klassifizierung von Feinstrukturmodellen

**deterministisch - stochastisch**



Deterministischer  
Zusammenhang

$$\tau_{ij}^{SGS} = \tau_{ij}^{SGS}(\bar{u}_i)$$



Stochastische Komponente  
enthalten

$$\tau_{ij}^{SGS} = \tau_{ij}^{SGS}(\bar{u}_i) + \mathcal{F}_{stoch}$$

## ► Klassifizierung von Feinstrukturmodellen

### Wirbelviskositätsmodell - Tensorielles Modell



Modellierung skalarer Wirbelviskosität  
(Modellierung auf Skalarniveau)

$$\tau_{ij}^{a,mod} = -\nu_{SGS} 2\bar{S}_{ij}$$



Modell für Einträge von  $\tau_{ij}^{SGS}$   
(Modellierung auf Tensorniveau)

## ► Klassifizierung von Feinstrukturmodellen

**Transportgleichung - Algebraischer Zusammenhang - Schätzung**



Lösung einer Transportglg.



Algebraische Gleichung



Schätzung für das nicht-gefilterte Geschwindigkeitsfeld

deterministisch				
$\nu_t$		$\tau_{ij}$		
algebraisch	Transportgl.	algebraisch	Transportgl.	Schätzung
SM WALE $\sigma$ -Modell	$K_\tau$ -Glg. $\nu_t$ -Glg.	$\tau_{ij} = f_{ij}(\bar{\mathbf{S}}, \bar{\mathbf{\Omega}})$ SSM ( $\bar{u}$ oder $\hat{u}$ )	$\tau_{ij}$ -Glg.	
selektive Prozeduren				
dynamische Prozedur gemischte Modelle				
stochastisch				
$\nu_t + \text{Kraftterm}$		Mikrowirbel		

► Klassifizierung nach [1], im weiteren Verlauf der Vorlesung verwendet

## 10.2 Vorstellung ausgewählter Feinstrukturmodelle

- ▶ Modelle in RANS-Tradition

- ▶ Möglichkeiten der Modellierung:
  - ▶ Algebraisch
  - ▶ 1-Gleichungsmodelle
  - ▶ 2-Gleichungsmodelle
  - ▶ Reynolds-Spannungsmodelle
- ▶ Vorteile gegenüber der RANS-Modellierung:
  - ▶ Es muss nicht der Einfluss des gesamten Energiespektrums sondern nur eines Teils modelliert werden
  - ▶ Das turbulente Längenmaß ist bei einer LES bereits durch die Filterweite  $\Delta$  gegeben und muss nicht geschätzt werden



Energiereichste Wirbel der Feinstruktur sind die nahe der Filterwellenzahl

→ 2-Gleichungsmodelle daher i.A. nicht benötigt



deterministisch				
$\nu_t$		$\tau_{ij}$		
algebraisch	Transportgl.	algebraisch	Transportgl.	Schätzung
SM WALE $\sigma$ -Modell	$K_\tau$ -Glg. $\nu_t$ -Glg.	$\tau_{ij} = f_{ij}(\bar{\mathbf{S}}, \bar{\boldsymbol{\Omega}})$ SSM ( $\bar{u}$ oder $\hat{u}$ )	$\tau_{ij}$ -Glg.	
selektive Prozeduren				
dynamische Prozedur gemischte Modelle				
stochastisch				
$\nu_t + \text{Kraftterm}$		Mikrowirbel		

► Wirbelviskositätsmodelle:

- Anwendung des Wirbelviskositätsansatz für den anisotropen Anteil des Feinstrukturensors:

$$\tau_{ij}^{a,mod} = -\nu_{SGS} 2\bar{S}_{ij}$$

- Dimensionsanalyse:

$$\nu_{SGS} = l_{FS} u_{FS}$$

- Charakteristisches Längenmaß, multipliziert mit Modellkonstante  $C_m$

$$l_{FS} = C_m \Delta$$

- Unterscheidung der Modelle in Wahl des charakteristischen Geschwindigkeitsmaßes  $u_{FS}$  und Wahl der Modellkonstanten

$$\bar{S}_{ij} = \frac{1}{2} \left( \frac{\partial \bar{u}_i}{\partial x_j} + \frac{\partial \bar{u}_j}{\partial x_i} \right)$$

$$\bar{S}_{ij} = \frac{1}{2} (\bar{g}_{ij} + \bar{g}_{ji})$$

$$\bar{g}_{ij} = \frac{\partial \bar{u}_i}{\partial x_j}$$

► Wirbelviskositätsmodelle:

► Anmerkung:

- Aufspaltung des Feinstrukturensors in anisotropen (spurfreien) und hydrostatischen Anteil:

$$\tau_{ij}^{SGS} = \tau_{ij}^{a,SGS} + \delta_{ij} \tau_{kk}^{SGS} / 3$$

- Betrachtung der Spur des zu modellierenden Feinstruktur-Tensors:

$$\begin{aligned} \tau_{kk}^{SGS} &= \tau_{11}^{SGS} + \tau_{22}^{SGS} + \tau_{33}^{SGS} \\ &= \overline{u_1 u_1} - \overline{u_1} \overline{u_1} + \overline{u_2 u_2} - \overline{u_2} \overline{u_2} + \overline{u_3 u_3} - \overline{u_3} \overline{u_3} \neq 0 \end{aligned}$$

- Für inkompressible Strömung würde modellierte Spur verschwinden:

$$\tau_{kk}^{mod} \sim \overline{S}_{kk} = \frac{\partial \overline{u}_k}{\partial x_k} = 0$$

- Folge der Modellbildung:  $\tau_{ij}^{a,mod} = \tau_{ij}^{mod}$

- ▶ Wirbelviskositätsmodelle:

- ▶ Anmerkung:

- ▶ zu modellierender Feinstrukturtenor:

$$\tau_{ij}^{SGS} \neq \tau_{ij}^{a,SGS}$$

- ▶ Berücksichtigung dieses Sachverhaltes erforderlich!
      - ▶ Lösung: Modellierung anisotropen Anteils und Verrechnung der Spur des Feinstruktur-Tensors im (durch die Dichte dividierten) Druck, Definition des Pseudodruckes:

$$\overline{\Pi} = \overline{p}/\rho + \tau_{kk}/3$$

→ Bestimmung während der Druckkorrektur im Lösungsverfahren

- ▶ Auswertung Druckverteilung auf fester Oberfläche trotzdem möglich, da aufgrund Haftbedingung dort kein Anteil des Feinstruktur-Tensors

- ▶ Smagorinsky Modell (SM, 1963) [1]:
  - ▶ charakteristisches Geschwindigkeitsmaß:

$$u_{FS} = l_{FS} |\overline{\mathbf{S}}|$$

- ▶ mit der Norm des Deformations-Tensors:

$$|\overline{\mathbf{S}}| = \sqrt{2\overline{S}_{ij}\overline{S}_{ij}}$$

- ▶ resultierender Ausdruck für die Feinstrukturspannungen:

$$\tau_{ij}^{a,SM} = -2(C_s\Delta)^2 |\overline{\mathbf{S}}| \overline{S}_{ij}$$

- ▶ Smagorinsky Modell (SM, 1963) [1]:
  - ▶  $C_s$  bspw. aus Turbulenzspektren bestimmbar:
    - ▶ isotrope Turbulenz (Modellspektrum, Gauß-Filter):

$$C_s \approx 0,18$$

→ keine Abhängigkeit von  $\Delta$  oder  $\Delta/\eta$   
(Skaleninvarianz im Inertialbereich)

- ▶ A-posteriori Analyse abklingender isotroper Turbulenz:

$$C_s \approx 0,19 \dots 0,24$$

- ▶ in Scherströmungen i.A. Reduktion der Konstanten
- ▶ heute am meisten verwendeter Wert in komplexen Strömungen:

$$C_s = 0,1$$

- Gleichung für die kinetische Energie der aufgelösten Skalen  
(  $K_{res} = 0,5 \bar{u}_i \bar{u}_i$  ):

$$\begin{aligned} \frac{\partial K_{res}}{\partial t} + \frac{\partial (\bar{u}_j K_{res})}{\partial x_j} + \frac{\partial}{\partial x_j} (\bar{u}_j \bar{p} + \bar{u}_i \tau_{ij}^{SGS} - 2\nu \bar{u}_i \bar{S}_{ij}) \\ = \underbrace{-2\nu \bar{S}_{ij} \bar{S}_{ij}}_{\varepsilon_{res}} - \underbrace{(-\tau_{ij}^{SGS} \bar{S}_{ij})}_{P_{FS}} \end{aligned}$$

- Gleichung für die kinetische Energie des Feinstruktur-Tensors  
(  $K_\tau = 0,5 (\overline{u_i u_i} - \bar{u}_i \bar{u}_i) = 0,5 \tau_{kk}$  ):

$$\begin{aligned} \frac{\partial K_\tau}{\partial t} + \frac{\partial (\bar{u}_j K_\tau)}{\partial x_j} + \frac{1}{2} \frac{\partial}{\partial x_j} (\overline{u_j u_i u_i} - \bar{u}_j \bar{u}_i \bar{u}_i) + \frac{\partial}{\partial x_j} (\bar{u}_j \bar{p} - \bar{u}_j \bar{p}) + \frac{\partial}{\partial x_j} (\bar{u}_i \tau_{ij}^{SGS}) \\ = \nu \frac{\partial^2 K_\tau}{\partial x_j^2} - \underbrace{\nu \left( \left( \frac{\partial u_i}{\partial x_j} \right)^2 - \left( \frac{\partial \bar{u}_i}{\partial x_j} \right)^2 \right)}_{\varepsilon_{FS}} + \underbrace{(-\tau_{ij}^{SGS} \bar{S}_{ij})}_{P_{FS}} \end{aligned}$$



- ▶ Smagorinsky Modell (SM, 1963) [1]:
  - ▶ Modelleigenschaften:
    - ▶ Beruht auf lokalem Gleichgewicht von turbulenter Produktion und Dissipation (auf feinen Skalen):
      - ▶ Formulierung der turbulenten Dissipation über Dimensionsanalyse:

$$\varepsilon_{FS} = u_{FS}^3 / l_{FS}$$

- ▶ Definition der turbulenten Produktion:

$$P_{FS} = -\tau_{ij}^{SGS} \overline{S}_{ij}$$

- ▶ Smagorinsky Modell (SM, 1963) [1]:
  - ▶ Modelleigenschaften:
    - ▶ Beruht auf lokalem Gleichgewicht von turbulenter Produktion und Dissipation (auf feinen Skalen):
    - ▶ Einsetzen der Definition des Modells für den Feinstruktur-Tensor und einsetzen charakteristischer Größen:

$$P_{FS} = \underbrace{(C_s \Delta)^2}_{l_{FS}^2} \underbrace{|\overline{\mathbf{S}}| 2\overline{S}_{ij}\overline{S}_{ij}}_{|\overline{\mathbf{S}}|^2} = l_{FS}^2 |\overline{\mathbf{S}}|^3 = u_{FS}^3 / l_{FS} = \varepsilon_{FS}$$

- ▶ Smagorinsky Modell (SM, 1963) [1]:
  - ▶ Modelleigenschaften:
    - ▶ Interpretation als Verallgemeinerung des Prandtlschen Mischungswegansatzes ( $C_s \Delta$  als Mischungsweglänge)

- ▶ Feinstrukturviskosität stets positiv  
→ Modell rein dissipativ:

$$P_{FS} = -\tau_{ij}^{a,mod} \bar{S}_{ij} = -\nu_{SGS} |\bar{\mathbf{S}}|^2 \leq 0$$

- ▶ Verhalten bei laminaren (und schwach turbulenten) Strömungen:
  - ▶ Scherrate vorhanden ( $|\bar{\mathbf{S}}| > 0$ )
    - ▶ → Feinstrukturviskosität bleibt größer 0, obwohl keine turbulenten Schwankungen vorhanden
  - ▶ Tritt beispielsweise in viskoser Unterschicht in der Nähe fester Wände auf oder bei Relaminarisierung

- ▶ Smagorinsky Modell (SM, 1963) [1]:
  - ▶ Vorteile:
    - ▶ Einfache Implementierung
    - ▶ Robust  
(vorteilhaft bei komplexen Strömungen mit evtl. stark verzerrten Gittern)
  - ▶ Nachteile:
    - ▶ Wirbelviskositätsmodell:
      - ▶ Bestimmung von  $\nu_{SGS}$  isotrop durch Verwendung Norm von  $\overline{S}_{ij}$
      - ▶ Dämpfung von Schwankungen in alle Richtungen gleichermaßen (auch bei Anisotropie der großen Skalen)
    - ▶ Unsicherheiten in Wahl der Konstanten
    - ▶ Nicht für laminare Strömung anwendbar
    - ▶ Nicht ohne weiteres für wandnahen Bereich geeignet ( $\nu_{SGS}$  geht nicht gegen null)

- ▶ Selektive Modelle:
  - ▶ Modellverhalten angepasst an physikalische Eigenschaften der Strömung
  
- ▶ Beispiele:
  - ▶ WALE-Modell („Wall-Adapted Local Eddy Viscosity“, 1998) [1]
    - ▶ Verwendung Differentialoperator, basierend auf anisotropen Anteil des Quadrates des Geschwindigkeitsgradienten-Tensor
  
  - Sicherstellung des korrekten asymptotischen Verhaltens in Nähe fester Wände
  
- ▶  $\sigma$ -Modell

- ▶  $\sigma$  - Modell (2011) [1]:
  - ▶ Motivation:
    - ▶ Schwächen Smagorinsky-Modell:
      - ▶ Positiver Wert für  $\nu_{SGS}$  im Falle
        - ▶ laminare Strömung
        - ▶ axialsymmetrischer oder isotroper Expansion
  - ▶ Schwächen WALE-Modell:
    - ▶ Positiver Wert für  $\nu_{SGS}$  im Falle
      - ▶ reine Festkörperrotation
      - ▶ axialsymmetrischer Expansion

►  $\sigma$  - Modell (2011) [1]:

► Charakteristisches Geschwindigkeitsmaß:

► Differentialoperator, mit folgenden Eigenschaften:

**1. Lokal definiert**

→ Vermeidung der Notwendigkeit von 2-Punkt-Korrelation

**2. Generierung ausschließlich positiver Werte**

→ Numerische Stabilität

**3. Korrektes asymptotisches Verhalten in Nähe fester Wände**

**4. Verschwinden im Fall reiner Scherung und/oder Festkörperrotation**

→ Fall 2-dimensionaler und/oder 2-komponenten-Strömung

**5. Verschwinden im Falle axialsymmetrischer oder isotroper Expansion oder Kontraktion**

[1]: F. Nicoud, H. B. Toda, O. Cabrit, S. Bose, and J. Lee. Using singular values to build a subgrid-scale model for large eddy simulations. *Physics of Fluids (1994-present)*, 23(8): 085106, 2011.



►  $\sigma$  - Modell (2011) [1]:

► Umsetzung:

- Grundlage Geschwindigkeitsgradienten-Tensor  $\bar{g}_{ij} = \partial \bar{u}_i / \partial x_j$
- Verwendung von dessen Singulärwerte  $(\sigma_1, \sigma_2, \sigma_3)$
- Ausdruck für Differentialoperator:

$$\mathcal{D}_\sigma = \frac{\sigma_3(\sigma_1 - \sigma_2)(\sigma_2 - \sigma_3)}{\sigma_1^2}$$

→ Herleitung rein formal, um gewünschte Eigenschaften des Operators zu erhalten

► Charakteristisches Längenmaß:  $\Delta$

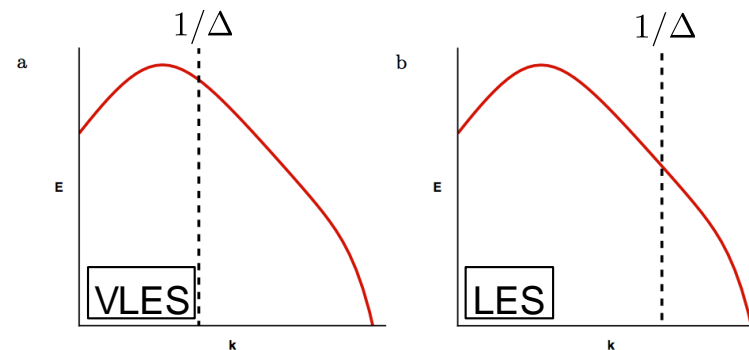
► Ausdruck für Wirbelviskosität:  $\nu_{SGS} = (C_\sigma \Delta)^2 \mathcal{D}_\sigma$

deterministisch				
$\nu_t$		$\tau_{ij}$		
algebraisch	Transportgl.	algebraisch	Transportgl.	Schätzung
SM WALE $\sigma$ -Modell	$K_\tau$ -Glg. $\nu_t$ -Glg.	$\tau_{ij} = f_{ij}(\bar{\mathbf{S}}, \bar{\boldsymbol{\Omega}})$ SSM ( $\bar{u}$ oder $\hat{u}$ )	$\tau_{ij}$ -Glg.	
selektive Prozeduren				
dynamische Prozedur gemischte Modelle				
stochastisch				
$\nu_t + \text{Kraftterm}$		Mikrowirbel		

## ► 1-Gleichungsmodell:

### ► Motivation:

- **große Gitter- bzw. Filterweiten** verlangen im Falle **unzureichender Auflösung** hochwertigere Feinstruktur-Modelle
  - Lage der Grenzwellenzahl innerhalb der energiereichsten Strukturen: „Very Large Eddy Simulation“ (**VLES**)
- **Lösung zusätzlicher DGL** notwendig, Mehraufwand von rund 10-20%
  - Relativ kostenarm (im Vergleich zu Verfeinerung des Gitters)
- Berücksichtigung **turbulenten Nicht-Gleichgewichtes**
  - Auftreten z.B. bei Strömungen starker Inhomogenität o. starker Scherung



► 1-Gleichungsmodell (1985) [1]:

► Charakteristisches Geschwindigkeitsmaß:

► Wurzel aus kinetischer Energie der zu modellierenden Terme:

$$u_{FS} = \sqrt{K_\tau} = \sqrt{\tau_{kk}/2}$$

► Exakte-Transportgleichung für diese:

$$\begin{aligned} \frac{\partial K_\tau}{\partial t} + \frac{\partial (\bar{u}_j K_\tau)}{\partial x_j} + \frac{1}{2} \frac{\partial}{\partial x_j} (\bar{u}_j \bar{u}_i \bar{u}_i - \bar{u}_j \bar{u}_i \bar{u}_i) + \frac{\partial}{\partial x_j} (\bar{u}_j \bar{p} - \bar{u}_j \bar{p}) + \frac{\partial}{\partial x_j} (\bar{u}_i \tau_{ij}^{SGS}) \\ = \underbrace{\nu \frac{\partial^2 K_\tau}{\partial x_j^2}}_{\varepsilon_{FS}} - \underbrace{\nu \left( \left( \frac{\partial u_i}{\partial x_j} \right)^2 - \left( \frac{\partial \bar{u}_i}{\partial x_j} \right)^2 \right)}_{\varepsilon_{FS}} + \underbrace{(-\tau_{ij}^{SGS} \bar{S}_{ij})}_{P_{FS}} \end{aligned}$$

► Modell-Transportgleichung für diese:

$$\frac{\partial K_\tau}{\partial t} + \frac{\partial (\bar{u}_j K_\tau)}{\partial x_j} = \frac{\partial}{\partial x_j} \left( (\nu + \nu_{SGS}) \frac{\partial K_\tau}{\partial x_j} \right) - \underbrace{\varepsilon^{mod}}_{\varepsilon_{FS}} - \underbrace{\tau_{ij}^{mod} \bar{S}_{ij}}_{P_{FS}}$$

► 1-Gleichungsmodell (1985) [1]:

► Charakteristisches Geschwindigkeitsmaß:

► Wurzel aus kinetischer Energie der zu modellierenden Terme:

$$u_{FS} = \sqrt{K_\tau} = \sqrt{\tau_{kk}/2}$$

► Modell-Transportgleichung für diese:

$$\frac{\partial K_\tau}{\partial t} + \frac{\partial(\bar{u}_j K_\tau)}{\partial x_j} = \frac{\partial}{\partial x_j} \left( (\nu + \nu_{SGS}) \frac{\partial K_\tau}{\partial x_j} \right) - \tau_{ij}^{mod} \bar{S}_{ij} - \varepsilon^{mod}$$

► Modell für deren Dissipation:

$$\varepsilon^{mod} = u_{FS}^3 / l_{FS} = C_\varepsilon \Delta^{-1} \sqrt{K_\tau}^3$$

► Ausdruck für Wirbelviskosität und Feinstrukturspannungen

$$\nu_{SGS} = C_{K_\tau} \Delta \sqrt{K_\tau} \longrightarrow \tau_{ij}^{mod} = -2\nu_{SGS} \bar{S}_{ij} + \frac{2}{3} K_\tau \delta_{ij}$$

- ▶ 1-Gleichungsmodell (1985) [1]:
  - ▶ Wahl der Modellkonstanten:
    - ▶ Analoges Vorgehen wie bei Bestimmung  $C_s$  aus Modellspektren
    - ▶ So erhaltener Wert:

$$C_{K_\tau} = 0,094$$

- ▶ Weitere Vorschläge in Literatur:

$$C_{K_\tau} = 0,048; 0,07; 0,1$$

- ▶ Vorschläge für  $C_\varepsilon$  :

$$C_\varepsilon = 0,884 \dots 1,02; 1,05$$



gitterabhängig

- ▶ 1-Gleichungsmodell (1985) [1]:
  - ▶ Modelleigenschaften
    - ▶ strikt dissipativ
  - ▶ Vorteile:
    - ▶ kein turbulentes Gleichgewicht vorausgesetzt
    - ▶ Bereitstellung Modell für gesamten Feinstrukturtensor (und nicht nur für anisotropen Anteil)
      - Vergleich aufgelöster und modellierter Spannungen mit Referenzdaten möglich
    - ▶  $\nu_{SGS} = 0$  in laminaren Bereichen



- ▶ 1-Gleichungsmodell (1985) [1]:
  - ▶ Nachteile:
    - ▶ Meist nur geringe Verbesserung gegenüber algebraischen Modellen
    - ▶ Probleme bei transitionellen Strömungen
      - Einströmung mit  $K_\tau = 0$  und  $K_\tau = 0$  an Wänden kann im gesamten Integrationsgebiet zu  $K_\tau = 0$  führen



deterministisch				
$\nu_t$		$\tau_{ij}$		
algebraisch	Transportgl.	algebraisch	Transportgl.	Schätzung
SM	$K_\tau$ -Glg.	$\tau_{ij} = f_{ij}(\bar{\mathbf{S}}, \bar{\boldsymbol{\Omega}})$	$\tau_{ij}$ -Glg.	
WALE	$\nu_t$ -Glg.	SSM ( $\bar{u}$ oder $\hat{u}$ )		
$\sigma$ -Modell				
selektive Prozeduren				
dynamische Prozedur				
gemischte Modelle				
stochastisch				
$\nu_t + \text{Kraftterm}$		Mikrowirbel		

- ▶ Reynolds-Spannungsmodelle:
  - ▶ Lösen Transportgleichungen für Feinstrukturspannungen
    - Lösung sechs zusätzlicher Gleichungen notwendig (erhöhter Rechenaufwand)
  - ▶ Schließungsansätze dieselben wie bei statistischen Modellen
    - u.U. nicht optimal, da nur Feinstrukturspannungen betrachtet
  - ▶ Modelle komplex  
(LES soll eigentlich mit einfachen Modellen auskommen)
    - Bisher wenig verwendet



## 10.3 Lernziele

- ▶ die Rolle des Feinstrukturmodells beschreiben können
- ▶ Feinstrukturmodelle klassifizieren können
- ▶ charakteristische Zeit-, Längen- und Geschwindigkeitsmaße der nicht-aufgelösten Turbulenz zur Verwendung in der Modellbildung nennen können
- ▶ erklären können, warum Feinstrukturmodelle „in RANS-Tradition“ diese Bezeichnung tragen
- ▶ die Modellgleichung des Smagorinsky-Modells aufschreiben und die Eigenschaften dieses Modells nennen können
- ▶ die Grundidee weiterer Feinstrukturmodelle „in RANS-Tradition“ nennen können